

II-21 降雨土壤侵食(WESP)モデルの重信川流域への適用

愛媛大学工学部 正会員 鈴木幸一・渡辺政広・C. サントス
愛媛大学大学院 学生員 ○八木孝志・弘田雄嗣

1. はじめに

一雨の降雨による土砂流出を実用的にシミュレートし得る WESP (Watershed Erosion Simulation Program) モデルとその適用性について、小流域（ブラジル・スメ試験地流域・0.5 ha）を対象に検討を進めてきた。

ここでは、本モデルをより規模の大きい流域へ適用する際の問題点（地下水の取り扱い）について検討した結果を述べる。

2. 解析対象流域

解析対象流域として、重信川の支川流域である石手川流域を選んだ。石手川は、図-1に示すように、流域面積約 73 km^2 、主河道長約 11 km の松山市の代表的な河川である。流域内は植生に覆われておらず、裸地部分は少ない。地下水も豊富で、松山市の重要な水源の一つを担っている。

3. WESP モデル

WESP モデルは、雨水流出モデルと土砂流出モデルからなるが、ここでは、雨水流出モデルについてのみ述べる。

雨水流出モデルは、これまで、有効降雨モデル（雨水損失モデル）、地表面流モデル、河道流モデルから構成されていたが、ここでは、WESP モデルを規模の大きい流域へ適用するため、さらに、地下水モデルを組み入れることとした。

3.1 地表面流：地表面流を kinematic wave 流れとして取り扱うと、連続式および運動方程式は次のように表される。

$$\frac{\partial h}{\partial t} + \frac{\partial q_p}{\partial x} = r_e \quad (1), \quad h = kq_p^p \quad (2)$$

ここに、 h ：水深、 q_p ：単位幅流量、 r_e ：有効降雨強度、 k 、 p ：斜面定数、 t ：時間、 x ：距離、である。

3.2 河道流：河道流を kinematic wave 流れとして取り扱うと、連続式および運動方程式は次のように表される。

$$\frac{\partial F}{\partial t} + \frac{\partial Q}{\partial x} = q_c \quad (3), \quad A = KQ^P \quad (4)$$

ここに、 F ：流水断面積、 Q ：流量、 q_c ：単位距離当たりの横流入流量、 K 、 P ：水路定数、である。

3.3 雨水損失（有効降雨）：ここでは、Horton の式を用いる。

$$f = f_c + (f_0 - f_c) e^{-bt} \quad (5)$$

ここに、 f ：浸透能、 f_0 ：初期浸透能、 f_c ：最終浸透能、 b ：低減係数、である。

3.4 地下水流：地下水流出は、次の補給能モデル¹⁾を用いる。

$$q = f_G (1 - e^{-M(t-t_0)}) + q_0 e^{-Mt} \quad (6)$$

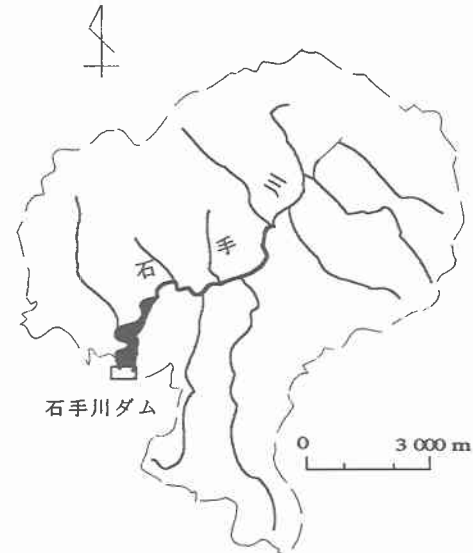


図-1 石手川流域

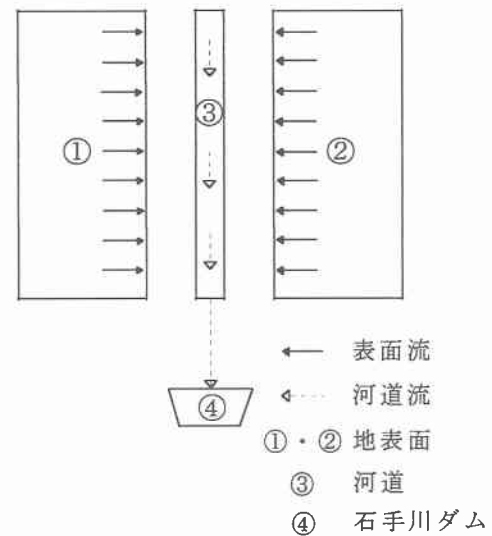


図-2 流域モデル

表-1 モデル・パラメータ（地表面流）

Element No.	Area (km^2)	Length (km)	Width (km)	Slope (%)
①	36.6	3.36	10.9	9.8
②	36.6	3.36	10.9	12.2

; $f_G = f_c A$ ($\omega \geq \omega_*$ のもと), $f_G = 0$ ($\omega < \omega_*$ のとき)

ここに, q : 地下水流量, q_0 : 降雨開始時点 $t=0$ における地下水流量, M : 遅減係数, A : 流域断面積, t : 降雨開始後の時間, t_0 : $\omega = \omega_*$ になるまでの時間, ω_* : 未場容水量, である.

4. 適用性

4.1 流域モデリング

石手川流域における雨水流出解析の際に用いた流域モデルを, 図-2 に示す. また, 本流域モデルの物理特性を, 表-1 および表-2 に示す.

4.2 モデル・パラメータ

1973~1997 年の 25 年間の雨量および流量資料, ならびに既往の研究結果をもとに, 雨水損失, 地下水流のモデル・パラメータを, 表-3 および表-4 のように決定した. なお, 等価斜面の粗度係数は $1.0 \text{ m}^{-1/3} \cdot \text{s}$ であり, 補給能回復曲線は図-3 に示すようである.

4.3 適用性と考察

はじめに, 雨水流出モデルの適用性について検討した. 検討結果の一例を, 図-4 に示す. これらより, 上述した雨水流出モデルにより, 実測結果を精度良く再現し得るシミュレーション結果の得られていることが分かる.

次に, 地下水流による土砂流送について検討した. 検討結果の一例を, 図-5 に示す. これは, 河道下流端における流量ハイドログラフをもとに, 地下水流による土砂流送量ハイドログラフ (Underground) と地表面流によるそれ (Plane) とを対比したものである. これより, 地下水流による土砂の流送は, 地表面流のそれに匹敵するオーダーで, かつ降雨終了後 1~2 ヶ月間も継続することは明らかであり, WESP モデルを規模の大きい流域へ適用する場合, 地下水流を組み入れる必要があることが分かる.

参考文献

- 1) 角屋 陸: 補給能モデルによる地下水流出解析, 農業土木学会誌, 第 48 卷, 第 9 号, pp. 53~59, 1980 年.

表-2 モデル・パラメータ (河道流)

Element No.	Length (km)	Slope (%)	Width (m)
③	10.9	3.1	30

表-3 モデル・パラメータ (雨水損失)

E_p (mm/day)	f_u (mm/hr)	f_* (mm/hr)	f_c (mm/hr)	b (hr^{-1})	c (day^{-1})
6.00	8.00	4.00	1.73	0.12	0.22

表-4 モデル・パラメータ (地下水流)

M (hr^{-1})	q (m^3/sec)
0.001	$q < 1.0$
0.003	$1.0 \leq q < 1.8$
0.006	$1.8 \leq q$

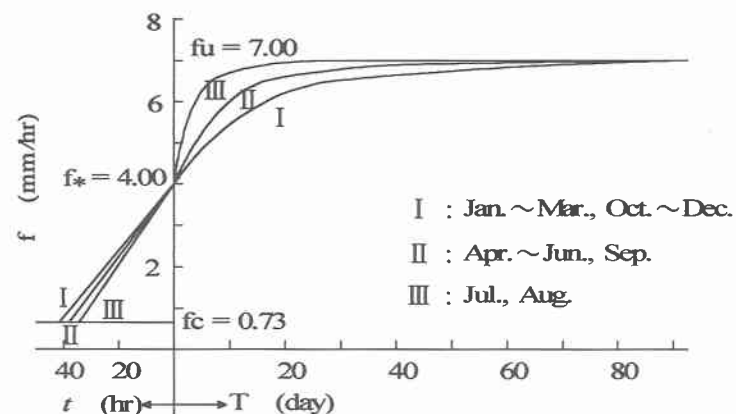


図-3 補給能回復曲線

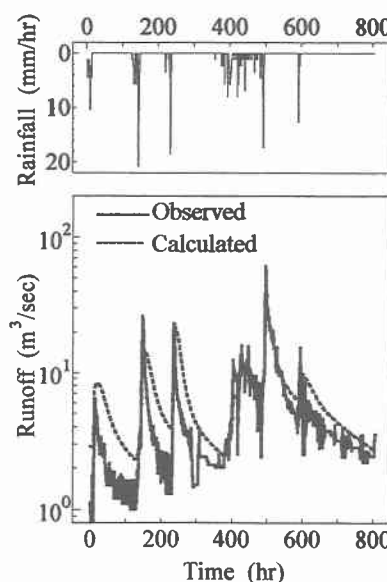


図-4 計算値と実測値の比較

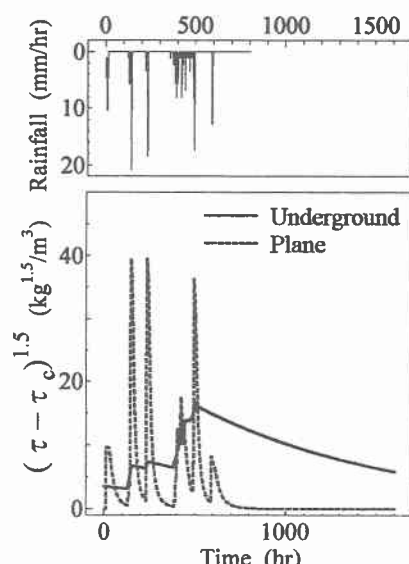


図-5 雨水流出と有効掃流力の関係